

## Взвешенные наносы

В гидрологическом отношении узел слияния Терека и Малки достаточно изучен. Это касается в основном наблюдений за жидким стоком.

В наблюдениях за твердым стоком имеется ряд недостатков и противоречий. Так например, по р. Малке у ст. Прокладной за период с 1935 - 1981 г.г. разко выделяется период 1958 - 1967 г.г. с аномально высоким твердым стоком.

Анализ этого периода затруднен в связи со строительством в 1958 г. Тереко-Кумского гидроузла. В этот период были прекращены и наблюдения за твердым стоком у г. Ноздек.

Сток наносов в рассматриваемом районе и по р. Терек анализировался в разное время Г. И. Шишовым (1949), Г. В. Лопатиным (1952), И. Я. Прытковой (1968), Г. Н. Хиадзе (1971), А. Ф. Пашинским (1977, 1978), Н. Н. Бобровицкий (1948) и рядом других авторов.

В ряде проработок ("Ресурсы поверхностных вод СССР" г. Северный Кавказ) из общего продолжительности ряда наблюдений за твердыми стоком по р. Малке у ст. Прокладной исключен многоводный период 1958 - 1963 г.г. Это исключение объяснялось работой Тирниаусского горно-металлургического комбината.

Однако, как было установлено, комбинат работает с 1930 г. и не мог внести таких изменений в режим твердого стока данного периода. Более логично предположить увеличение твердого стока в связи с общим увеличением водности Малки и активным селе-проявлением на притоках её бассейна.

По литературным и справочным данным этот период характеризовался активным селе-проявлением на р.р. Баксане, Чегеме и др.

Нами при определении расчетных характеристик твердого стока р. Малки период с повышенным твёрдым стоком включен в общую продолжительность ряда. В последней редакции "Основных гидрологических характеристик (т.8, Северный Кавказ) период наблюдений с повышенным стоком 1958 - 1963 г.г. также включен в общую продолжительность ряда.

Общая продолжительность рядов наблюдений за твердым стоком по р.р. Терек и Малка превышает 35 - 40 лет. Согласно требований [ ] в качестве расчетных можно принять средние многолетние характеристики стока взвешенных наносов за период наблюдений (табл. 1 ).

Для целей восстановления и удлинения гидрологических рядов исследовались зависимости характеристик твердого стока от основных факторов.

По Тереку и Малке связи расходов взвешенных наносов с расходами воды выражены слабо (рис. 1 ), коэффициенты корреляции изменяются от 0,4 до 0,5. Для уточнения этих зависимостей исследовались корреляционные связи расходов взвешенных наносов с расходами воды и стоком наносов на выше расположенных створах - аналогах. Корреляционные уравнения и коэффициенты корреляции приведены в табл. 2.....

Ошибки определения расходов взвешенных наносов по уравнениям корреляции составляют 25 - 30 %. Введение третьей переменной в зависимости  $R_{B\mu} = f(Q, R_a)$  не приводит к значительному уточнению расчетных связей.

Аналогичная работа по построению корреляционных связей стока наносов с основными факторами проведена Бобровицкой (1988). При обработке использованы ряды наблюдений по 1968 г., а коэффициент корреляции связей  $R$  и  $Q$  изменялся от 0,5 до 0,6.

Таблица 1

## Средние многолетние характеристики залеженных нафтов

№ пп	Период наблюдений	Характе- ристика	Месяцы												Год	
			I	II	III	IV	V	VI	VII	VIII	IX	X	XI	XII		
1	2	3	4	5	6	7	8	9	10	11	12	13	14	15	16	17
1. р. Терек - ст. Котляревская																
I	1925-1926, 1930-1941, 1947-1981 г.г.	кг/с	9,12	9,54	13,9	48,4	148	332	392	323	94	20,1	12,5	10,1	11,6	
		м3/с	61,4	59,8	69,3	98,3	155	224	248	212	144	104	85,2	71,7	126	
		кг/м3	0,15	0,16	0,20	0,49	0,95	1,48	1,58	1,52	0,65	0,19	0,15	0,14	0,92	
2. р. Малка - ст. Прохладная																
2	1935-1941, 1947-1981 гг	кг/с	9,40	9,70	17,5	36,5	171	433	654	680	151	40,1	11,5	11,3	191	
		м3/с	36,2	35,5	39,4	49,2	85,7	152	224	225	120	64,0	46,5	39,1	92,4	
		кг/м3	0,26	0,27	0,44	0,74	2,00	2,85	2,92	3,02	1,26	0,63	0,31	0,29	2,07	
3. р. Терек - г. Моздок																
3	1933-41, 1945-80 гг	кг/с	11,3	14,3	24,2	67,4	242	546	842	820	214	64,5	27,5	18,2	235	
		м3/с	101	99	111	148	288	361	465	432	271	178	138	115	224	
		кг/м3	0,11	0,14	0,19	0,455	1,02	1,51	1,81	1,90	0,79	0,36	0,200	0,160	1,05	

Таблица 2

Построение корреляционных связей расходов  
извешенных наносов от основных факторов

НР пп	Река, пункт	Число наблю- дений	Река - аналог	Уравнение регрессии	Общий коэффи- циент корре- ляции		Ошиб- тельная ошибка управле- ния регрес- сии
					1	2	
1	2	3	4	5	6	7	
1	Терек - ст. Кот- ляровская	45	Терек-Орджони- кидзе	$R_{TK} = 1,482 R_{To}$ $+0,36 Q_{TK}$ $-94,3 \pm 33,4$	0,67	25%	
2	Малка - ст. Про- хладная	34	Малка - ст. Каменномост- ская	$R_{Mpl} = 2,35 Q_{Mpl}$ $+2,44 R_{MK} -$ $-90$	0,60	28 %	
3	Терек - г. Моздок	21	Терек - ст. Степное	$R_{TM} = 0,71 Q_M$ $+0,17 R_{em}$ $-19,5$	0,59	30 %	

По результатам корреляционного анализа  $R$  и  $Q$   
установлены не высокие коэффициенты корреляции.

Принимая во внимание достаточно длительную продолжительность натурных рядов наблюдений, в качестве расчетных к проекту рекомендуются средние многолетние значения стока взвешенных наносов, табл. 1.....

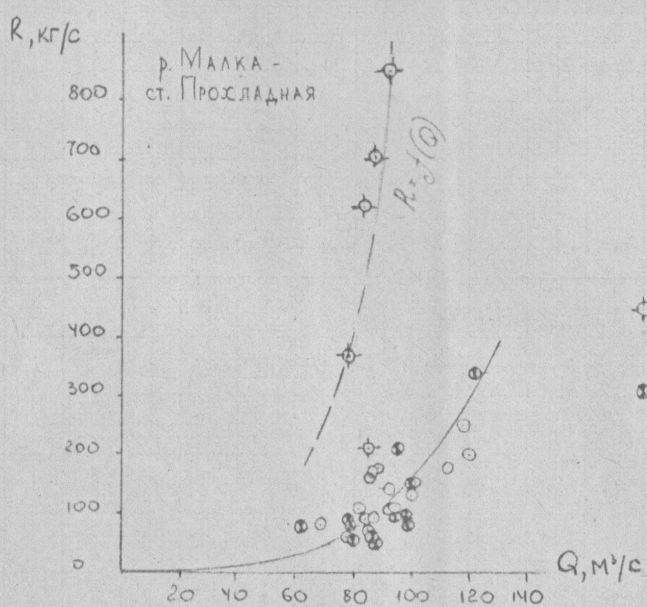
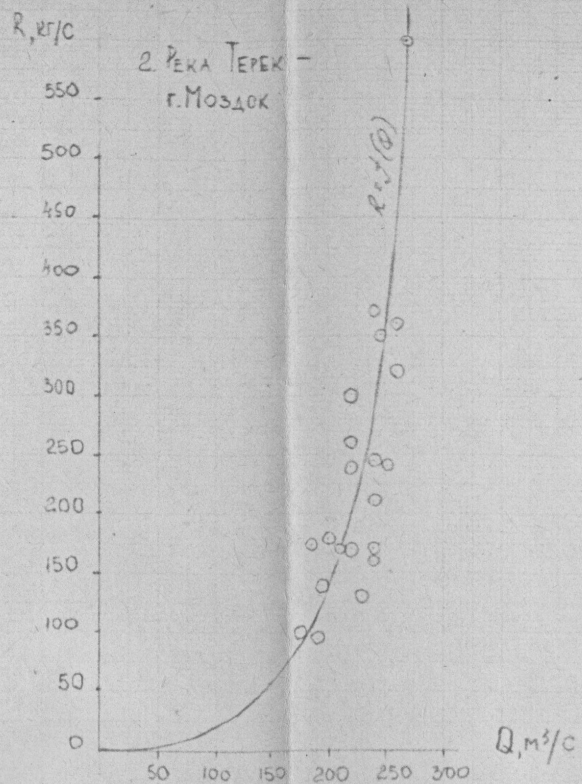
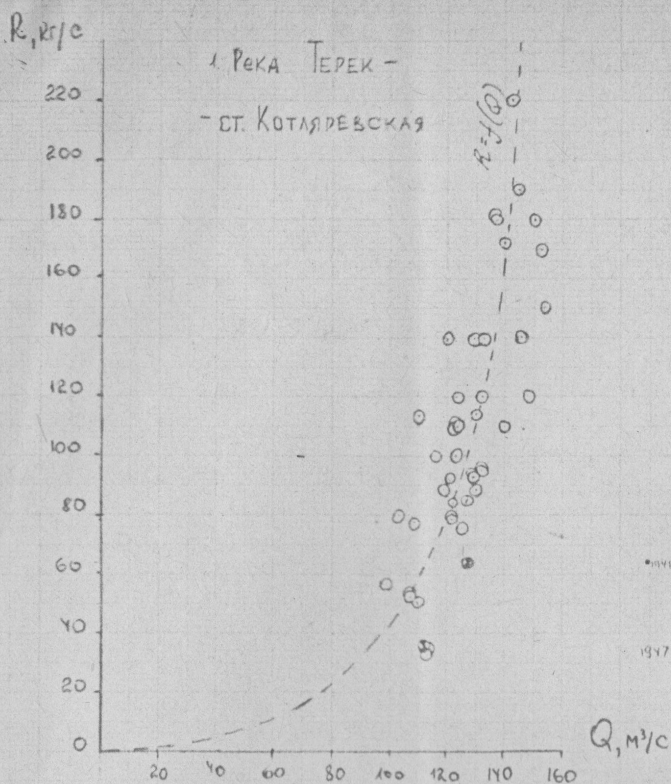
Для оценки изменчивости стока взвешенных наносов проведена статистическая обработка рядов наблюдений. Коэффициент вариации годовых расходов взвешенных наносов изменяется от 0,4 до 0,9, табл. 2

Внутригодовое распределение стока взвешенных наносов принимается по среднему фактическому распределению, табл. 3. В режиме стока наносов Терека и Малки более 90 % наносов проходят в половодно-паводочный период. На осенне-зимний может приходится менее 10 % общего стока наносов.

К стадии проекта Терско-Малкинского водохранилища в створе проектируемого гидроузла в 1984 г. проводились комплексные гидрологические работы по изучению стока воды и наносов (см. техн. отчет. Архив СИГВХ). Полученные значения мутностей и расходов взвешенных наносов за 1984 г. (многолетний  $R = \dots \%$ ) в общем сравнимы с мутностями прошлых лет той же водности, рис.

Исследованиями ставилась также задача сравнения измерений стока наносов Госкомгидрометом и Севкавгипроводхозом у ст. Прохладной и Котляревской. Севкавгипроводхозом на указанных постах производился учет стока наносов детальным способом.

8



ГРАФИКИ СВЯЗИ ВЗВЕШЕННЫХ НАНОСОВ  
С РАСХОДАМИ ВОДЫ.

◆ 1959-62 гг - ПОВЫШЕННЫЙ СТОК НАНОСОВ ЗА СЧЕТ АКТИВНОГО  
СЕЛЕПРОЯВЛЕНИЯ

◎ 1965, 1966, 1967-1985 гг.

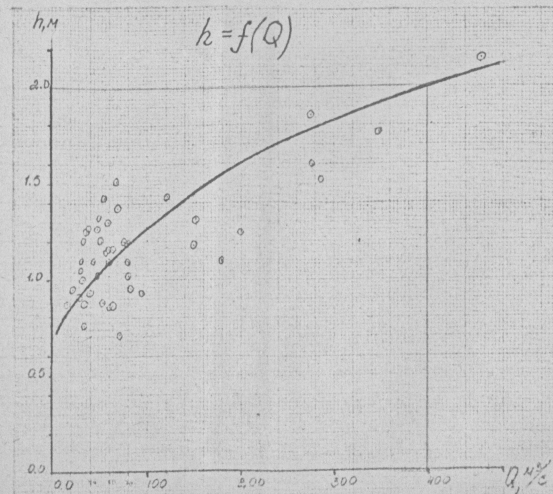
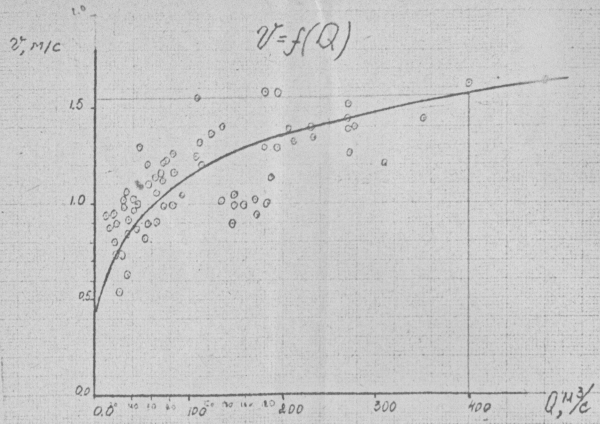
СОСТАВИЛ	Никулин	_____	ПРОЕКТ ТЕРСКО-МАЛ-	РИС
ПРОВЕРИЛА	Голышев	_____	КИНСКОГО ГИДРОЧЗ-	1

Таблица 3

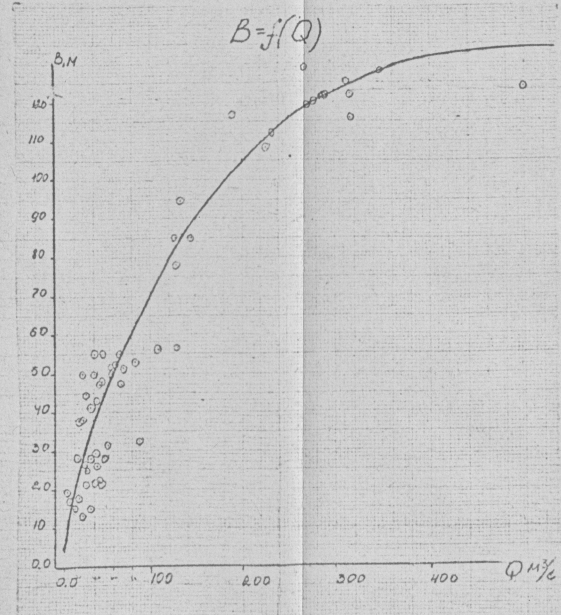
Внутригодовое распределение стоказвешенных наносов

№ п/п	Река, пункт	Месяцы												Год период	Половод- но-изо- дочный период	Межень у-ик	Коэффи- циент вариа- ции го- стока наносов
		I	II	III	IV	V	VI	VII	VIII	IX	X	XI	XII				
1	2	3	4	5	6	7	8	9	10	11	12	13	14	15	16	17	18
1 Терек - ст. Котляровская	%	0,6	0,6	0,9	3,4	10,5	23,5	27,9	22,9	6,7	1,4	0,9	0,7	100	91,5	8,5	0,4
2 Малка - ст. Прохладная	%	0,4	0,4	0,8	1,6	7,6	19,5	29,5	30,5	6,7	1,8	0,7	0,5	100	93,8	6,2	0,9
3 Терек - Моздок, %		0,4	0,5	0,8	2,3	8,4	18,9	29,1	26,4	7,4	2,2	1,0	0,6	100	92,2	7,8	0,44

- 17 -

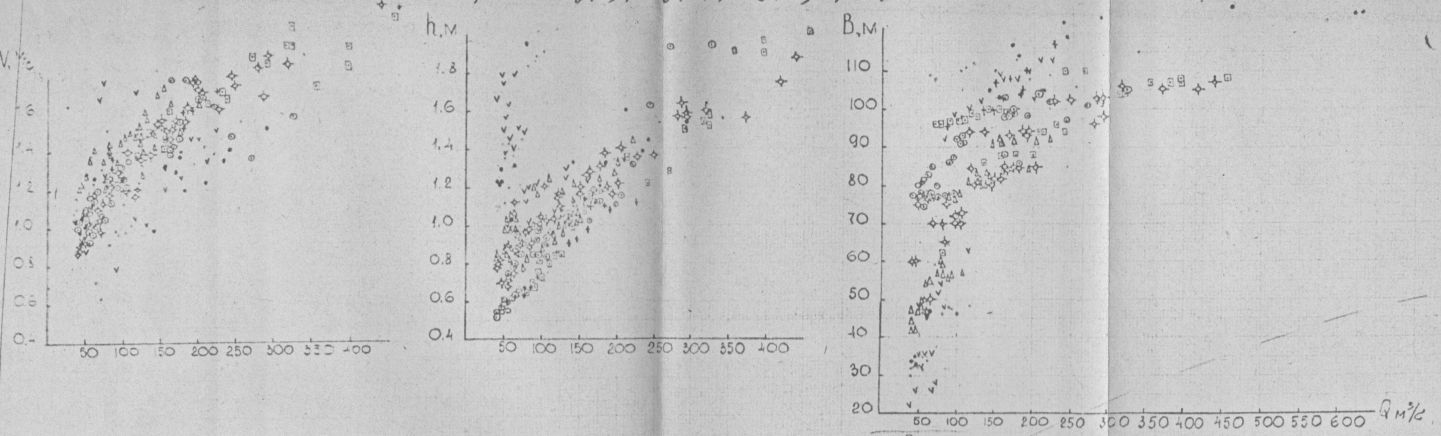


Зависимости гидравлических характеристик потока р. Молоки у ст. Прокладной

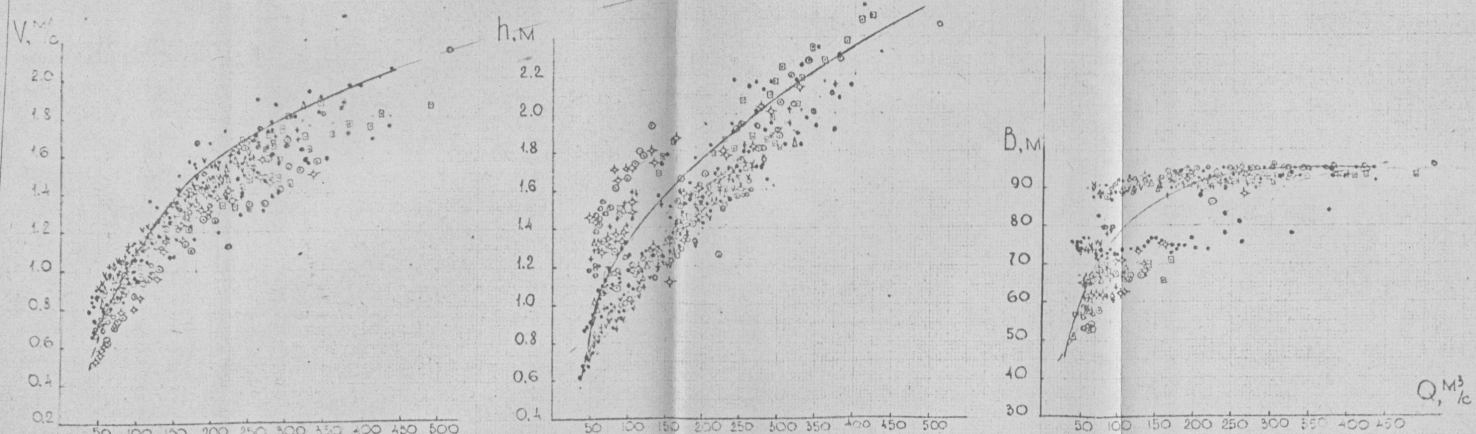


Б. С. Григорьев	Гнездилов	Просект
Григорьев	Гнездилов	Терско-Малакинского
Гнездилов	Григорьев	Гидроузла

3. Кривые  $V=f(Q)$ ,  $h=f(Q)$ ,  $B=f(Q)$  р. Тerek - ст. Эльхотово



2. Кривые  $V=f(Q)$ ,  $h=f(Q)$ ,  $B=f(Q)$  - р. Тerek - ст. Комаревская



Начальник	Гибзалиев	Проект:
Составил	Григорьев	Терско-Малкинского
Проверка		Гидроузла

Работы и публикации материалов Госкомгидромета поступают с запозданием на 2-3 года, поэтому сопоставить полученные данные в настоящее время не представляется возможным.

Сопоставление данных Госкомгидромета с данными наблюдений Севкавгипроводхоза будет выполнено на последующих стадиях проекта.

На стадии ТЭО из острожности и с учетом существующего в литературе мнения [ ] о недоверие на постах Госкомгидромета стока взвешенных наносов, рекомендуем внести в расчетные данные повышающий коэффициент на точность учета стока +20 %.

#### а/ Крупность взвешенных наносов.

Фракционный состав взвешенных наносов определяется многими факторами - составом пород, почвенным покровом водосбора, водным режимом реки, условиями формирования наносов, русловыми процессами. В гранулометрический состав взвешенных наносов Терека до 70 % преобладают пылевато-глинистые частицы, доля песчаных частиц не превышает 10 %.

В гранулометрическом составе взвешенных наносов малки преобладают песчаные частицы - 50 %, доля пылеватых частиц уменьшается до 40 %. Анализ гранулометрического состава взвешенных наносов показывает его слабую зависимость от водности реки. В связи с этим определились осредненные характеристики взвешенных наносов независимо от водности.

Анализ гранулометрического состава взвешенных наносов показывает недоучет в составе наносов глинистых фракций. Недоучет глинистых и частично пылеватых фракций отмечен при ситовом методе анализа наносов примерно до 1960 г.

В последующие годы при использовании метода пипетка - фракционометр (ПФ) содержание в составе взвешенных наносов глинистых (менее 0,005 мм) и пылеватых фракций (менее 0,01) стало учитываться.

При определении расчетного состава взвешенных наносов использованы данные лабораторных анализов методом пипетка - фракционометр. Средневзвешенный гранулометрический состав по расходам наносов за период измерений методом (ПФ) приведен на форматке, рис. 2.

Для расчетов заиления водохранилища по р. Терек у ст. Котляревской и р. Малке - у ст. Прохладной определены декадные мутности воды за период наблюдений. За отдельные декады года выполнено восстановление декадных расходов взвешенных наносов по графикам связи  $R_{\text{вв}} = f(Q)$ , см. прил. Среднедекадные расходы взвешенных наносов приведены в табл. 4 ч 5

#### Расчет стока влекомых наносов

Надежные приборы и методы измерения стока влекомых наносов отсутствуют. В связи с этим подразделениями Госкомгидромета сток влекомых наносов не измеряется. Измерения стока влекомых наносов горно-предгорных рек, особенно в паводки осложнено и трудностями технического характера.

На реках Северного Кавказа измерения стока влекомых наносов проводились лишь на р. Терек у с. Казбеки в 1936 - 1939 г.г.

Отсутствие длительных систематических наблюдений за стоком влекомых наносов горно-предгорных рек и их низкая

точность исключают возможность использования данных Госкомгидромета.

В этих условиях расчет стока влекомых наносов производят по аналитическим зависимостям, полученным на основе теоретических <sup>р</sup> поработок или лабораторных экспериментов.

С другой стороны, использование той или иной зависимости существенно затруднено большим количеством имеющихся в технической литературе [1,2] расчетных зависимостей для определения количества влекомых наносов. Отсутствуют четко обоснованные рекомендации и аргументированные ограничения по условиям их применения.

Все указанные зависимости делятся на три группы: кинематические, в которых скорость потока рассматривается как определяющий фактор, формулы с расходом наносов  $\Phi$  функции влекущей силы, формулы, разработанные на базе теории вероятностей (стохастические).

Определяющими факторами стока влекомых наносов является гранулометрический состав донных отложений и гидравлические характеристики потока. Определение гидравлических характеристик потока на вызывает затруднений и точность их определения довольно высокая, особенно при наличии натурных измерений в гидрометрических створах.

Выбор расчетных параметров по гранулометрическому <sup>отложению</sup> составу данных сопряжен с рядом трудностей. Во первых это связано с ограниченностью исходных данных по гранострату, во-вторых с его низким качеством. Это проявляется прежде всего в недоборе крупных фракций подразделениями Госкомгидромета.

По результатам проводимых изысканий на предшествующих стадиях проекта, сбору валовых проб в русло установлено

наличие в составе донных отложений гальки и валунов, по данным же Госкомгидромета эти фракции полностью отсутствуют. Из общего числа проб донных отложений около 70 % отобрано с помощью щупа или дночерпателя. Согласно "Методическим указаниям гидроинженерной службы № 85" эти приборы допустимо использовать для илистых и песчано-гравелистых грунтов со скоростями течения до 1 м/с.

Недостаток гравелисто-валунных фракций не позволяет принять эти данные в качестве расчетных.

Для выбора расчетных кривых грансостава использованы данные по отбору валовых проб (геологические материалы), материалы рекогносцировочного обследования и отбор проб донных отложений отделом Гидрологии для данной стадии проекта.

табл. 6 Отбор проб и их обработка произведена полностью согласно [ ]. Принятые в расчет кривые гранулометрического состава хорошо согласуются с кривыми грансостава донных отложений, использованных на предшествующих стадиях проекта (рис. 3 и рис. 4)

Определение гидравлических характеристик потока производилось по осредненным кривым  $h = f(Q)$ ,  $V_{cp} = f(Q)$ , рис. 546, построенным по материалам натурных наблюдений на постах Госкомгидромета. Использование осредненных кривых связано со значительными деформациями русла рр. Терека и Малка.

В соответствии с указаниями по расчету заложения водохранилищ и гидрологическим расчетам при проектировании водохранилищ выполнен расчет стока влекомых наносов по формулам Г.И. Шамова, Ф. Н. Талимазы. В дополнение к этому выполнены также расчеты стока влекомых наносов по методическим указаниям ГПИ [6].

**СЕВКАВГИПРОВОДХОЗ**

## ВЕДОМОСТЬ МЕХАНИЧЕСКИХ АНАЛИЗОВ

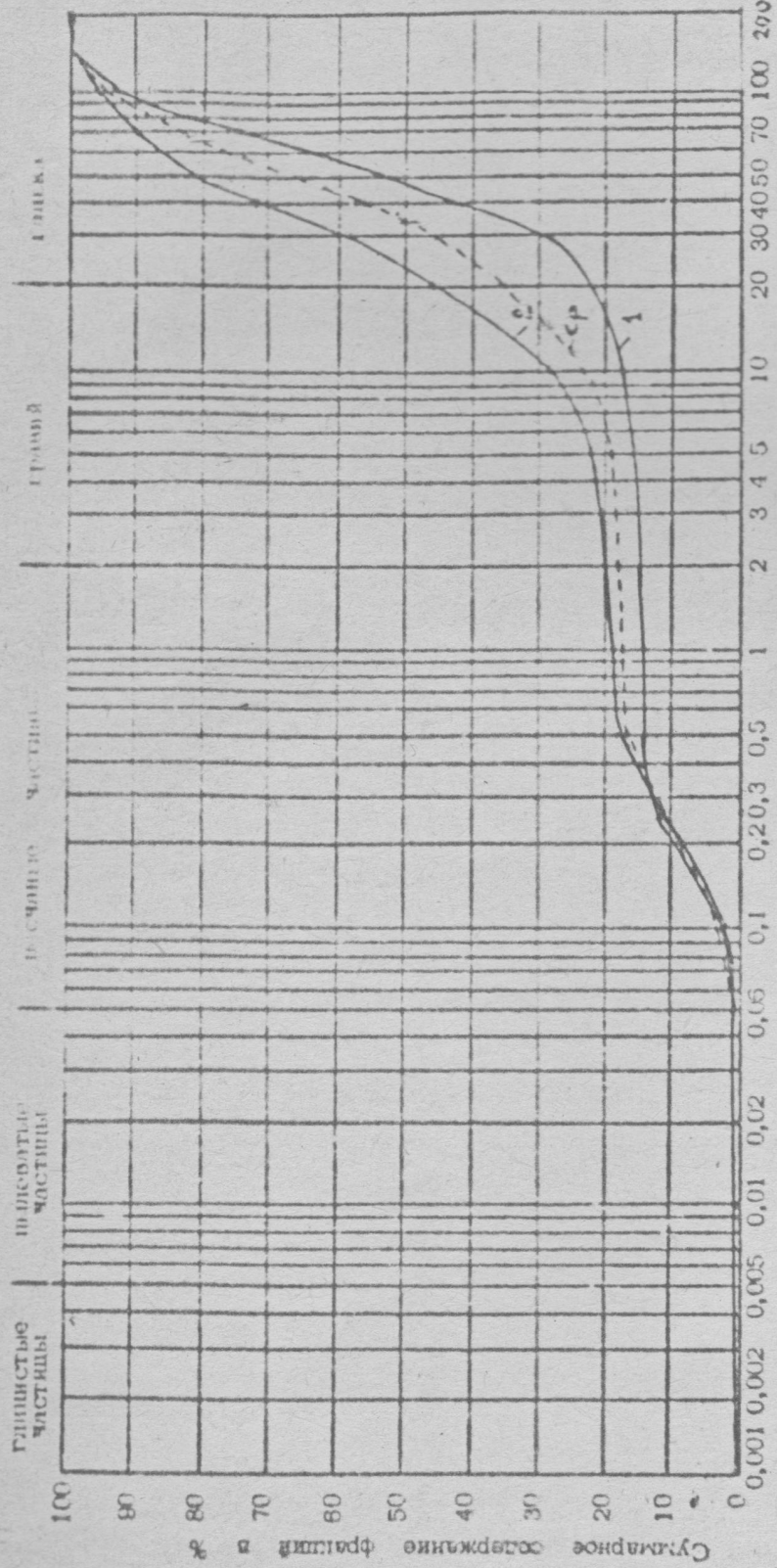
TAB/MU/3 N 6.

1984 r.

## Терско-Малкинский гидроузел

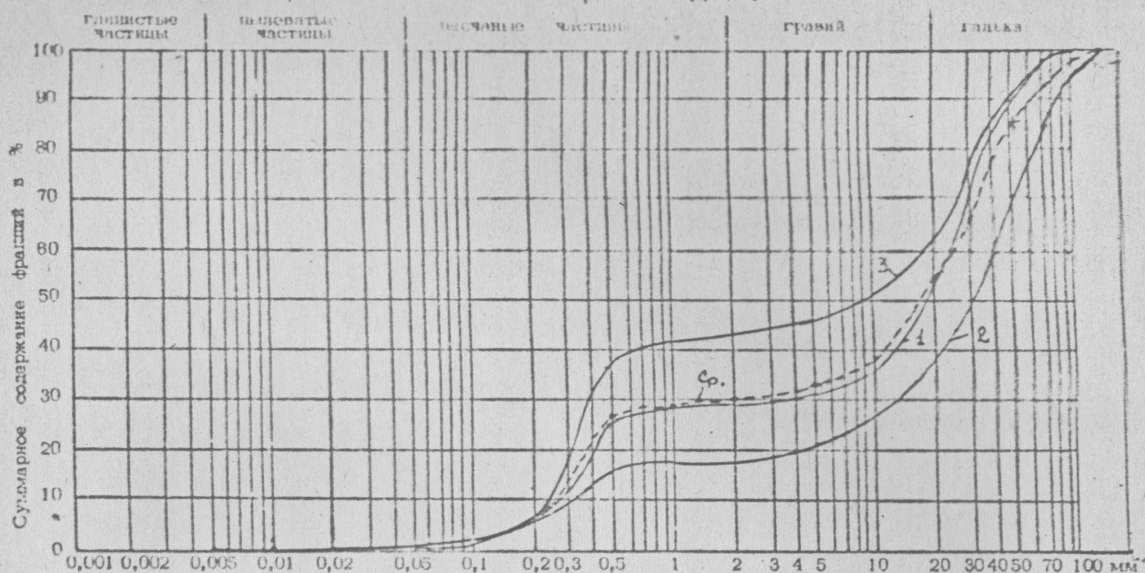
СУММАРИЙ КІНІЧНОГО ПРОГНОЗУ ВИВЕДЕНИЙ ЗА ДОНАХ ОТЛОЖЕНИЙ

Р. Терек — ст. Котларевская



СУММАРНАЯ КРИВАЯ ГРАНУЛОМЕТРИЧЕСКОГО СОСТАВА ПОРОД ДОННЫХ ОТЛОЖЕНИЙ

р. Малка - ст. Прохладная



№ № пп:	Плота	Характери- стика состо- яния грун- тов	Q m³/c	Размеры фракций в мм, содержание в процентах																	Размеры наибольших фракций
				500- 400- 300- 200- 100- 80- 40- 30- 20- 10- 5- 5-2- 2-1- 1- 0,5- 0,25- 0,1- 0,05- 0,01- 0,005																	
1	р. Малка	Донные	15.0																		
2	р. Малка	отложен.	15.0																		
3	р. Малка		11																		
	Средн.																				

7062-70

1-24 г/м³

Методика расчетов заключалась в следующем:  
используя гидравлические характеристики и характеристики  
крупности донных отложений по расчетным формулам определялись  
расходы влекомых наносов для фиксированных расходов воды.

Строились графики связи  $R_{вл} = f(Q)$ , рис. 7

В качестве расчетной принят  $\alpha$  верхняя огибающая  $R_{вл} = f(Q)$  (рис.8)  
по методическим указаниям [1], расчетная формула и  
промежуточные величины приведены в табл. 7

Сток влекомых наносов рассчитывался по декадным расходам  
воды за период 1930 - 1982 г.г., результаты расчетов приведены  
в табл. 7

Сопоставление полученных величин стока влекомых наносов  
со стоком влекомых наносов, полученных на предшествующих  
стадиях проекта приведено в табл. 8

Таблица 8

Сопоставление расчетных величин стока  
влекомых наносов к различным стадиям  
проекта

Стадия проекта	Год	Влекомый сток	
		$R$ , кг/с	$W$ , тмс.т.
I. р. Малка - ст. Прохладная			
ТЭО	1980	5,62	177
ОИ низовьев Терека	1984	5,62	177
РП	1984	6,30	205,5
II. р. Тerek - ст. Котляревская			
ТЭО	1980	9,80	310
ОИ низовьев Терека	1983	9,80	310

### I. р. Малка - ст. Прохладная

ТЭО	1980	5,62	177
ОИ низовьев Терека	1984	5,62	177
РП	1984	6,30	205,5

### II. р. Тerek - ст. Котляревская

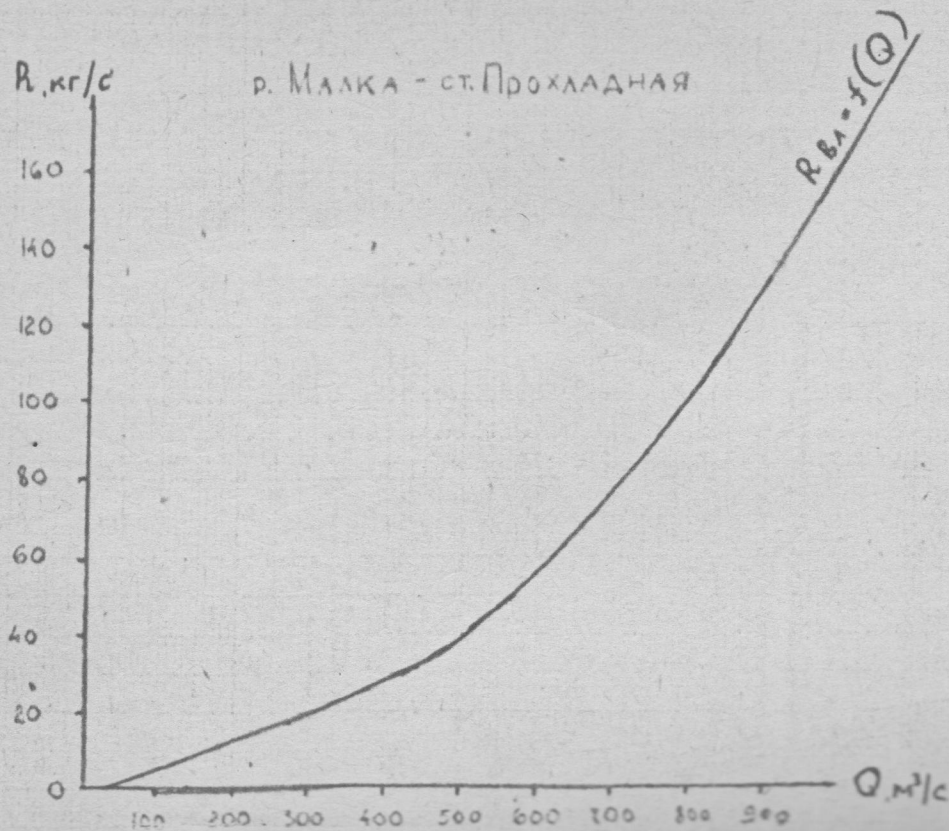
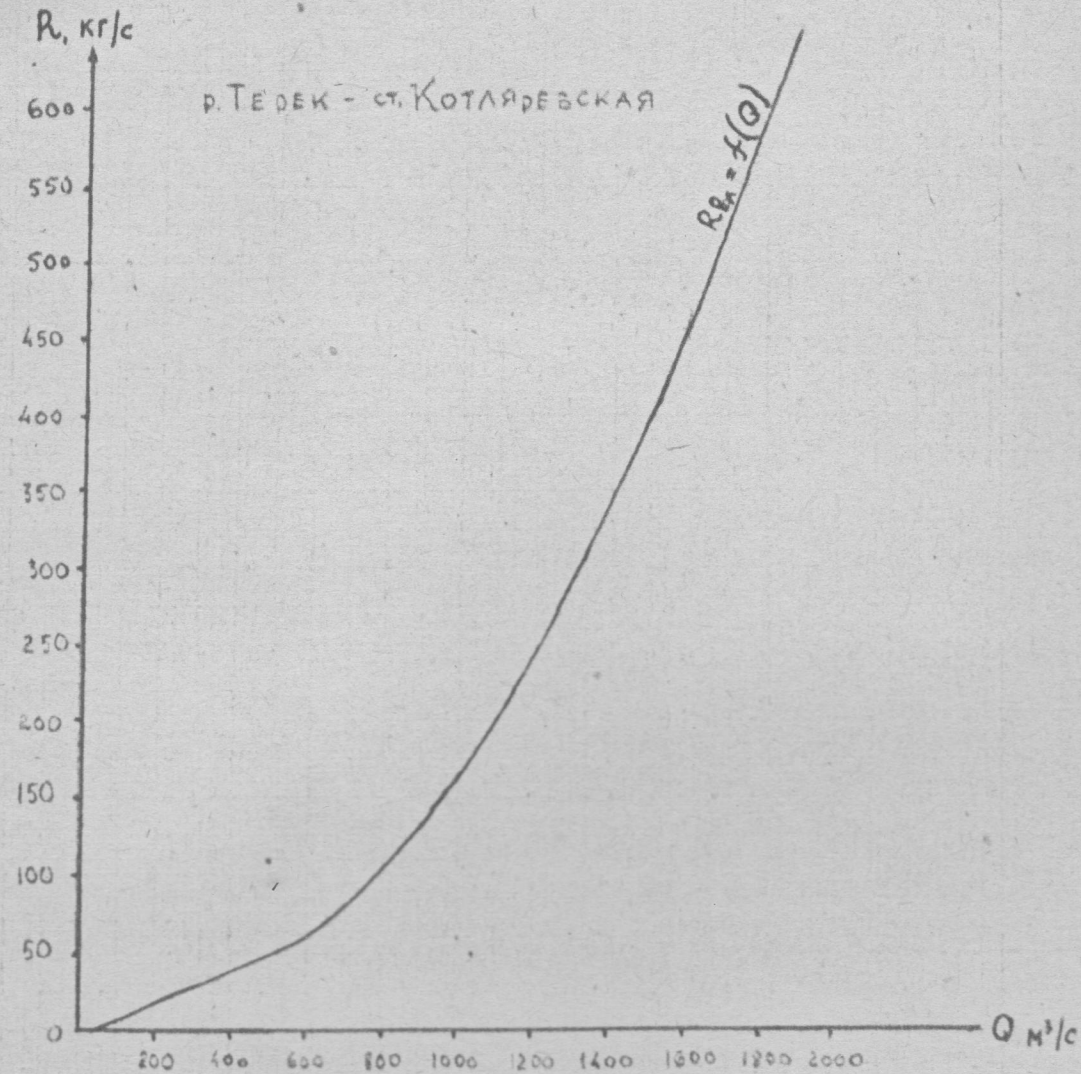
ТЭО	1980	9,80	310
ОИ низовьев Терека	1983	9,80	310

Расчеты расходов взвешенных наносов по различным формулам

	$Q_s$ м³/с	$h_{sp}$ м	$V_s$ м/с	В и	Ф-ла Шахова			Ф-ла Талмазы			Методические указания к измерению							
					$d_{sp}$ м	$d_{cp}$ м	$R_{sh} = h_{sp} \left( \frac{V_s}{U_{cr}} \right) \left( \frac{U_{cr}}{U_{ta}} \right) \left( \frac{d_{sp}}{d_{cp}} \right)$	$R_{ta} = 0.06 \frac{V^2}{H^{2/3}} \left( 1 - \frac{V}{V_{cr}} \right) \cdot Q$	$\bar{d}_g$	$C = \frac{V}{\bar{d}_g}$	$P = \frac{C}{0.57 + \frac{3.3}{C}}$	$d = \Delta$						
р. Малка-ст. Прокладная	50	I,04	0,94	45	0,011	0,0020	0,473	0,062	2,05	0,599	0,016	0,80	25,8	56,4	262	0,628	9,19	0,005
	100	I,27	I,I4	70	0,016	0,0039	0,616	0,097	5,28	0,742	0,025	2,50	"	54,6	246	0,630	"	"
	150	I,45	I,28	90	0,021	0,0060	0,725	0,129	8,85	0,854	0,031	4,65	"	53,4	236	0,632	"	"
	200	I,50	I,36	105	0,024	0,0074	0,791	0,149	I2,0	0,924	0,033	6,60	"	52,5	229	0,633	"	"
	250	I,72	I,42	II6	0,026	0,0080	0,826	0,156	I4,5	0,960	0,035	8,75	"	51,9	224	0,634	"	"
	300	I,86	I,48	I23	0,028	0,0087	0,858	0,166	I7,3	I,000	0,037	II,1	"	51,2	219	0,634	"	"
	350	I,92	I,52	I23	0,030	0,0092	0,083	0,172	I9,0	I,022	0,039	I3,6	"	50,9	216	0,635	"	"
	400	2,00	I,57	I32	0,034	0,0107	0,932	0,190	20,3	I,070	0,041	I6,4	"	50,5	214	0,635	"	"
	450	2,15	I,69	I32	0,034	0,0107	0,932	0,190	20,3	I,070	0,041	I6,4	"	50,0	209	0,636	"	"
	500	2,40	2,08	I32	0,034	0,0107	0,932	0,190	20,3	I,070	0,041	I6,4	"	49,1	202	0,637	"	"
	550	2,60	2,42	I32	0,034	0,0107	0,932	0,190	20,3	I,070	0,041	I6,4	"	48,4	197	0,638	"	"
р. Тerek-ст. Котлинская	70	I,14	0,83	70	0,008	0,0020	0,487	0,062	2,10	0,512	0,009	0,63	40,9	60,0	294	0,625	2,24	0,007
	100	I,34	I,10	78	0,014	0,0035	0,602	0,090	4,80	0,732	0,018	I,80	"	58,4	279	0,626	"	"
	150	I,58	I,33	86	0,025	0,0063	0,839	0,167	9,40	0,938	0,035	5,25	"	56,8	256	0,628	"	"
	200	I,77	I,56	9I	0,034	0,0125	0,956	0,211	I4,5	I,080	0,046	9,20	"	55,7	256	0,629	"	"
	250	I,94	I,70	92	0,042	0,0172	I,086	0,261	I7,5	I,197	0,055	I3,8	"	54,9	249	0,630	"	"
	300	2,09	I,80	93	0,048	0,0193	I,137	0,282	I1,8	I,252	0,064	I9,0	"	54,2	243	0,631	"	"
	350	2,23	I,90	95	0,055	0,0223	I,213	0,311	24,6	I,322	0,071	24,8	"	53,6	239	0,632	"	"
	400	2,35	I,98	95	0,061	0,0255	I,279	0,340	27,1	I,387	0,076	30,5	"	53,1	234	0,632	"	"
	450	2,47	2,06	95	0,068	0,0276	I,325	0,358	30,2	I,431	0,085	33,2	"	52,7	231	0,633	"	"
	500	2,80	2,33	95									"	51,6	222	0,634	"	"
	564	3,30	3,07	95									"	50,2	210	0,636	"	"
	630	3,80	3,96	95									"	49,1	202	0,637	"	"
	660	4,00	4,37	95									"	48,7	199	0,638	"	"
	700	4,50	5,02	95									"	48,1	194	0,639	"	"

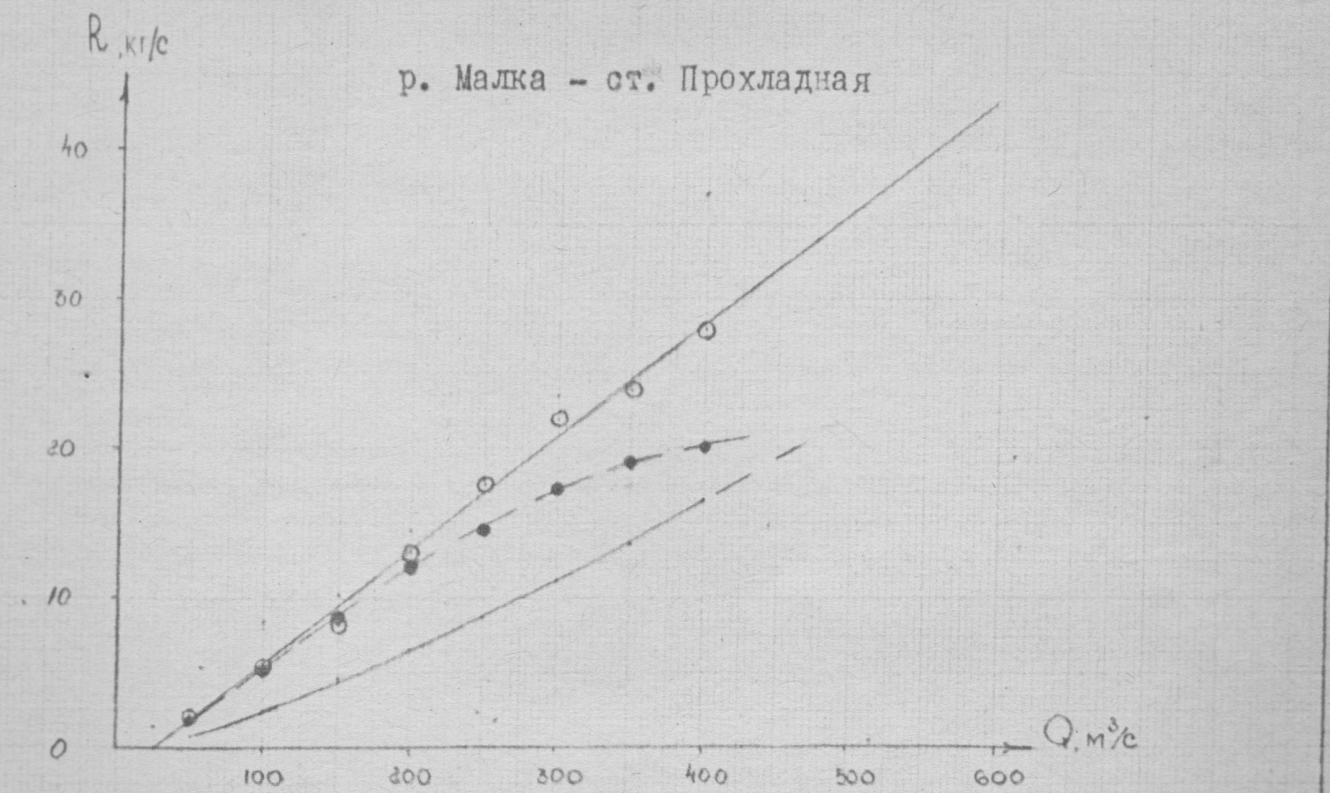
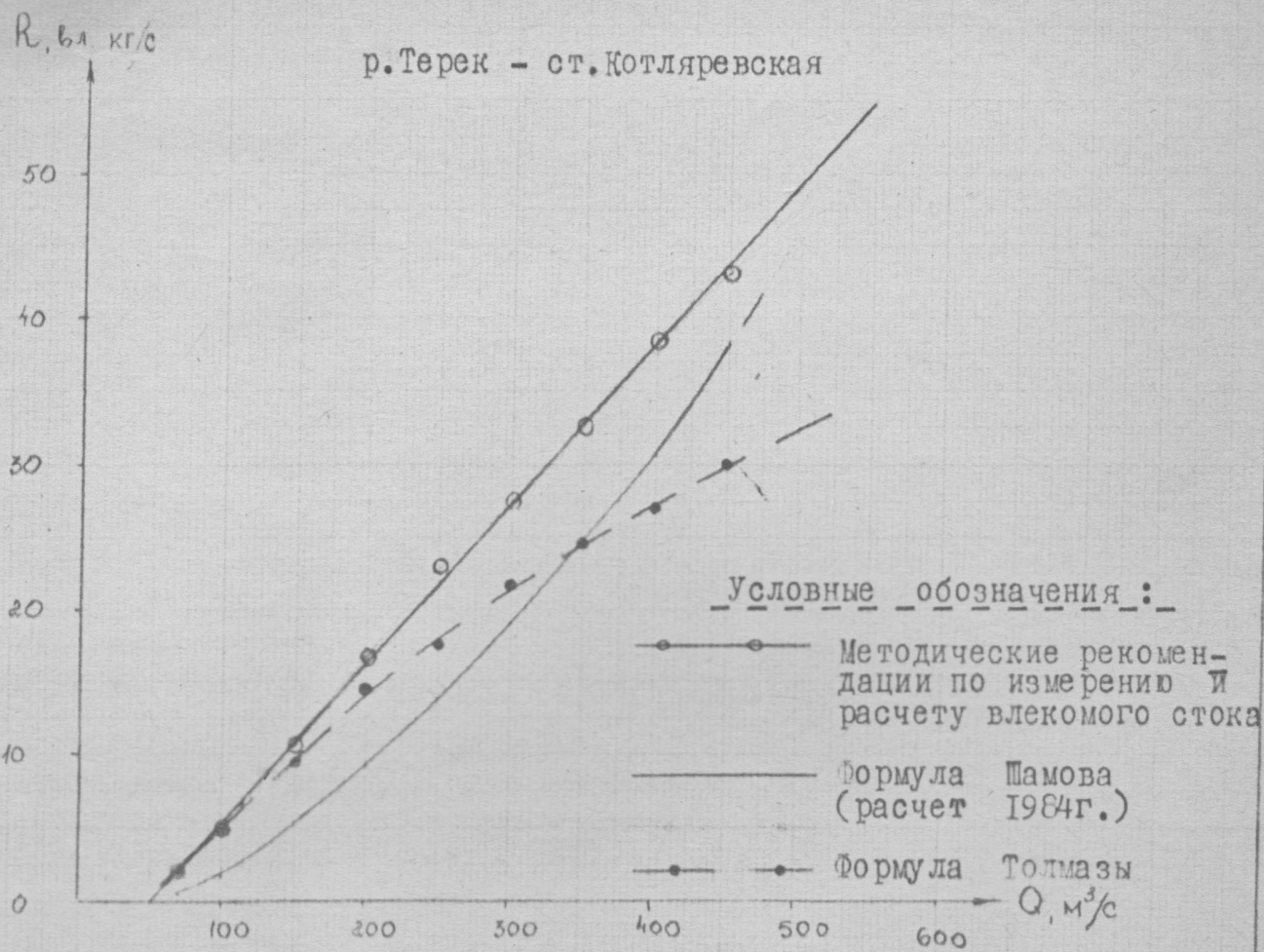
Формула: $P_{\text{бл}} = p_{\text{бл}} \cdot B = 0,01 \cdot d \cdot P_{\text{оп}} \cdot d \left( V_{\text{ср}} - V_{\text{крит}} \sqrt{\frac{f}{C_f}} \right) \cdot \frac{V_{\text{ср}}}{V_{\text{крит}}} \cdot \frac{W_{\text{макс}}}{W}$																				
$\lambda = \frac{C_f}{V_{\text{ср}}^2} = \frac{1}{H} C_f \sqrt{1 - \frac{P_{\text{бл}}}{B}}$ . Первый этап.																				
Второй этап.																				
$\tilde{y}_1 = \frac{d_1}{d_2}$	$d_1$	$m = \frac{d^2 \cdot \tilde{y}_1 + 2}{d_1 \cdot V_{\text{ср}}^2}$	$d \cdot b = \frac{m \cdot V_{\text{ср}}^2}{d_1}$	$d \cdot h = \frac{V_{\text{ср}}^2}{d_1 \cdot d}$	$d_1 = \frac{V_{\text{ср}}^2}{d \cdot h}$	$\tilde{y}$	$d$	$m$	$d \cdot b$	$d \cdot f$	$u$									
20	21	22	23	24	25	26	27	28	29	30	$\frac{u}{\sqrt{m}}$									
											$\frac{3 \cdot V_{\text{ср}}}{\sqrt{m}}$									
											$\frac{u^2}{m}$									
											$\frac{u^3}{m^2}$									
											$\frac{u^4}{m^3}$									
											$\frac{u^5}{m^4}$									
											$\frac{u^6}{m^5}$									
											$\frac{u^7}{m^6}$									
											$\frac{u^8}{m^7}$									
											$\frac{u^9}{m^8}$									
											$\frac{u^{10}}{m^9}$									
											$\frac{u^{11}}{m^{10}}$									
											$\frac{u^{12}}{m^{11}}$									
											$\frac{u^{13}}{m^{12}}$									
											$\frac{u^{14}}{m^{13}}$									
											$\frac{u^{15}}{m^{14}}$									
											$\frac{u^{16}}{m^{15}}$									
											$\frac{u^{17}}{m^{16}}$									
											$\frac{u^{18}}{m^{17}}$									
											$\frac{u^{19}}{m^{18}}$									
											$\frac{u^{20}}{m^{19}}$									
											$\frac{u^{21}}{m^{20}}$									
											$\frac{u^{22}}{m^{21}}$									
											$\frac{u^{23}}{m^{22}}$									
											$\frac{u^{24}}{m^{23}}$									
											$\frac{u^{25}}{m^{24}}$									
											$\frac{u^{26}}{m^{25}}$									
											$\frac{u^{27}}{m^{26}}$									
											$\frac{u^{28}}{m^{27}}$									
											$\frac{u^{29}}{m^{28}}$									
											$\frac{u^{30}}{m^{29}}$									
											$\frac{u^{31}}{m^{30}}$									
											$\frac{u^{32}}{m^{31}}$									
											$\frac{u^{33}}{m^{32}}$									
											$\frac{u^{34}}{m^{33}}$									
											$\frac{u^{35}}{m^{34}}$									
											$\frac{u^{36}}{m^{35}}$									
											$\frac{u^{37}}{m^{36}}$									
											$\frac{u^{38}}{m^{37}}$									
											$\frac{u^{39}}{m^{38}}$									
											$\frac{u^{40}}{m^{39}}$									
1,0	0,69	0,242	0,0109	0,0017	0,0061	0,997	0,69	0,242	0,0109	0,0061	0,34	0,69	0,212	2200	I,36	0,442	0,635	0,624	0,0497	2,24
0,998	0,70	0,249	0,0160	0,0026	0,0096	0,996	0,70	0,249	0,016	0,0096	0,43	0,86	0,218	"	I,33	0,413	0,785	0,507	0,078	5,46
0,998	0,69	0,242	0,0202	0,0034	0,0121	0,996	0,69	0,242	0,0202	0,0121	0,51	I,04	0,250	"	I,23	0,432	0,831	0,490	0,092	8,23
0,998	"	"	0,0228	0,0040	0,0138	0,996	0,69	0,242	0,0228	0,0138	0,52	I,06	0,270	"	I,28	0,442	0,892	0,519	0,124	I3,0
0,999	"	"	0,0249	0,0045	0,0154	0,996	0,69	0,242	0,0249	0,0154	0,54	I,10	0,285	"	I,29	0,432	0,945	0,529	0,150	I7,4
0,999	"	"	0,0271	0,0050	0,0163	0,996	0,69	0,242	0,0271	0,0163	0,56	I,14	0,301	"	I,30	0,423	0,998	0,538	0,178	2I,9
0,999	"	"	0,0286	0,0053	0,0174	0,996	0,69	0,242	0,0286	0,0174	0,58	I,18	0,310	"	I,29	0,423	I,021	0,534	0,136	23,8
0,999	"	"	0,0305	0,0153	0,0182	0,995	0,69	0,242	0,0305	0,0182	0,59	I,20	0,322	"	I,31	0,413	I,074	0,546	0,212	28,0
0,999	0,68	0,256	0,0344	0,0068	0,0210	0,996	0,69	0,242	0,0344	0,0210	0,64	I,50	0,351	"	I,30	0,425	I,140	0,548	0,259	34,2
0,999	0,68	0,256	0,0380	0,0107	0,0282	0,994	0,69	0,242	0,0380	0,0282	0,75	I,52	0,439	"	I,37	0,405	I,467	0,585	0,572	67,6
0,999	0,68	0,256	0,0704	0,0149	0,0368	0,993	0,69	0,242	0,0704	0,0368	0,85	I,75	0,517	"	I,40	0,398	I,731	0,608	0,823	109
0,997	0,70	0,243	0,0095	0,0013	0,0050	0,997	0,70	0,243	0,0095	0,0050	0,34	0,63	0,154	2200	I,29	0,423	0,592	0,403	0,031	2,17
0,997	0,70	0,249	0,0149	0,0022	0,0036	0,996	0,70	0,249	0,0149	0,0036	0,43	0,86	0,198	"	I,23	0,423	0,736	0,460	0,064	5,00
0,998	0,69	0,242	0,0235	0,0036	0,0145	0,995	0,69	0,242	0,0235	0,0145	0,53	I,03	0,254	"	I,28	0,423	0,923	0,479	0,124	I0,7
0,998	"	"	0,0300	0,0048	0,0179	0,994	0,69	0,242	0,0300	0,0179	0,59	I,20	0,293	"	I,30	0,423	I,052	0,497	0,135	I6,8
0,998	"	"	0,0356	0,0053	0,0214	0,994	0,69	0,242	0,0356	0,0214	0,64	I,30	0,323	"	I,31	0,413	I,163	0,505	0,250	23,0
0,998	"	"	0,0400	0,0067	0,0240	0,994	0,69	0,242	0,0400	0,0240	0,68	I,38	0,342	"	I,30	0,423	I,215	0,503	0,290	27,6
0,998	"	"	0,0445	0,0076	0,0256	0,994	0,69	0,242	0,0445	0,0256	0,72	I,46	0,370	"	I,30	0,423	I,232	0,512	0,344	32,7
0,998	"	"	0,0484	0,0084	0,0283	0,994	0,69	0,242	0,0484	0,0283	0,74	I,50	0,388	"	I,32	0,413	I,360	0,524	0,404	38,4
0,999	"	"	0,0523	0,0092	0,0305	0,994	0,69	0,242	0,0523	0,0305	0,77	I,57	0,407	"	I,31	0,413	I,412	0,529	0,453	43,0
0,999	"	0,243	0,0672	0,0122	0,0391	0,993	0,69	0,243	0,0672	0,0391	0,88	I,75	0,469	"	I,31	0,418	1,586	0,583	0,657	62,4
0,999	0,68	0,236	0,1134	0,0224	0,0554	0,992	0,69	0,243	0,1134	0,0554	1,05	I,15	0,636	"	I,44	0,893	2,255	0,606	1,643	156
0,999	"	"	0,1886	0,0388	0,0717	0,991	0,69	0,243	0,1886	0,0717	1,19	2,41	0,836	"	I,64	0,372	3,085	0,702	3,833	365
0,999	"	"	0,2297	0,0480	0,0786	0,990	0,69	0,243	0,2297	0,0786	1,25	2,84	0,829	"	I,72	-0,361	3,465	0,743	5,265	500
0,999	"	"	0,0064	0,0649	0,0937	0,999	0,69	0,243	0,0064	0,0937	1,36	2,76	1,031	"	I,82	0,345	4,025	0,795	8,382	796

ГРАФИК СВЯЗИ РАСХОДОВ ВЛЕКОМЫХ НАНОСОВ  
С РАСХОДАМИ ВОДЫ.



5

График связи расходов влекомых наносов  
с расходами воды



Составил Голышева	М. Гол.	Проект Терско-Малкинского гидроузла.	Рис.
ПРОВЕРИЛ НИКУЛИН	Н.Н.		

1	2	3	4
Р П	1984	10,0	325

Расчетные величины стока влекомых наносов, ... на данной стадии проекта (рабочий проект) по р. Тerek близки к ранее полученным данным. Увеличение влекомого стока по р. Малка на 14 %, связано с уточнением гранулометрического состава донных отложений.

## Л И Т Е Р А Т У Р А

1. Указания по расчету заиления водохранилищ при строительном проектировании.

Гидрометиздат. Л. 1973 г.

2. Рекомендации по гидрологическим расчетам при проектировании водохранилищ.

Гидрометиздат, Л. 1983 г.